

Fig. 1

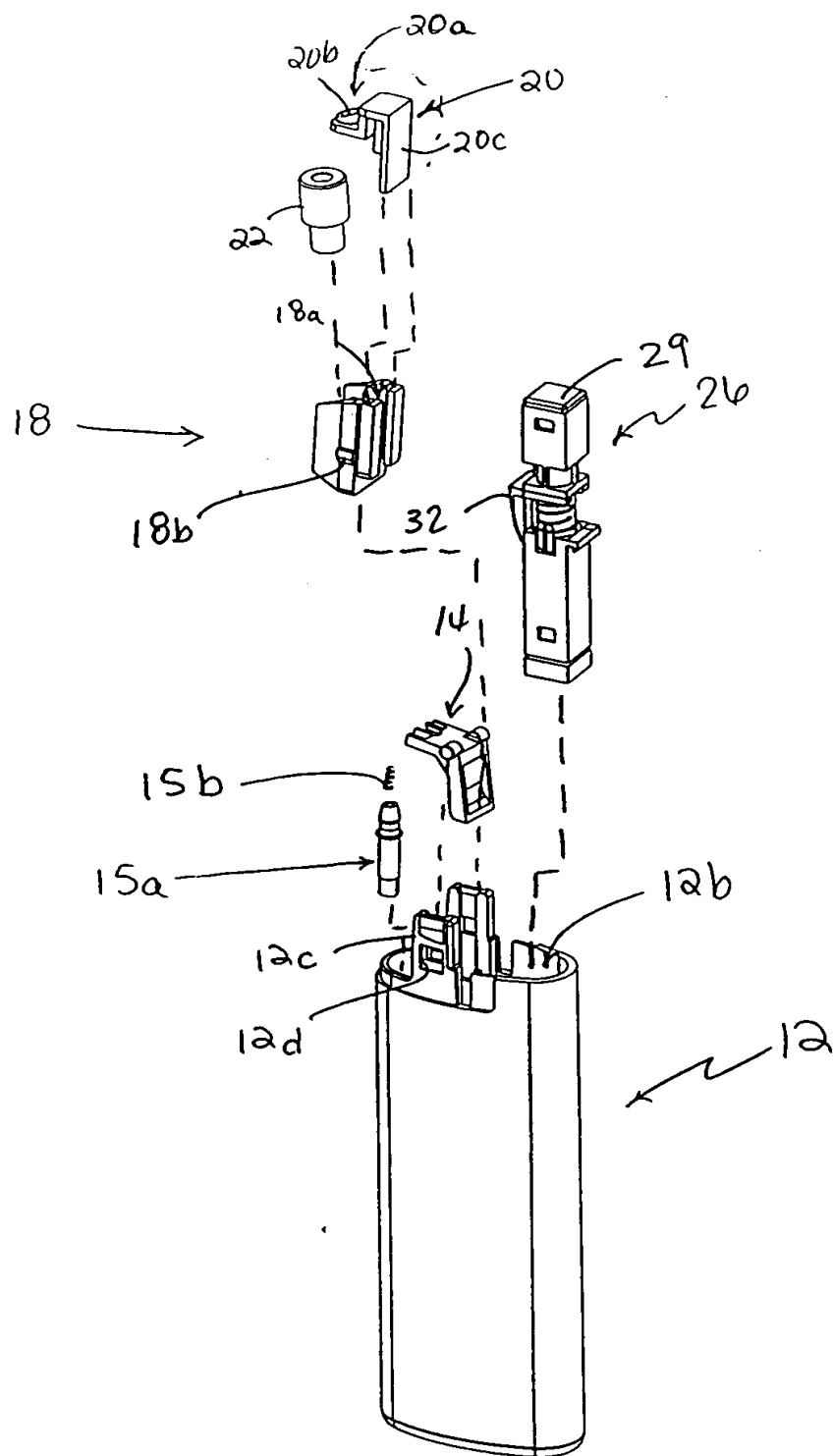
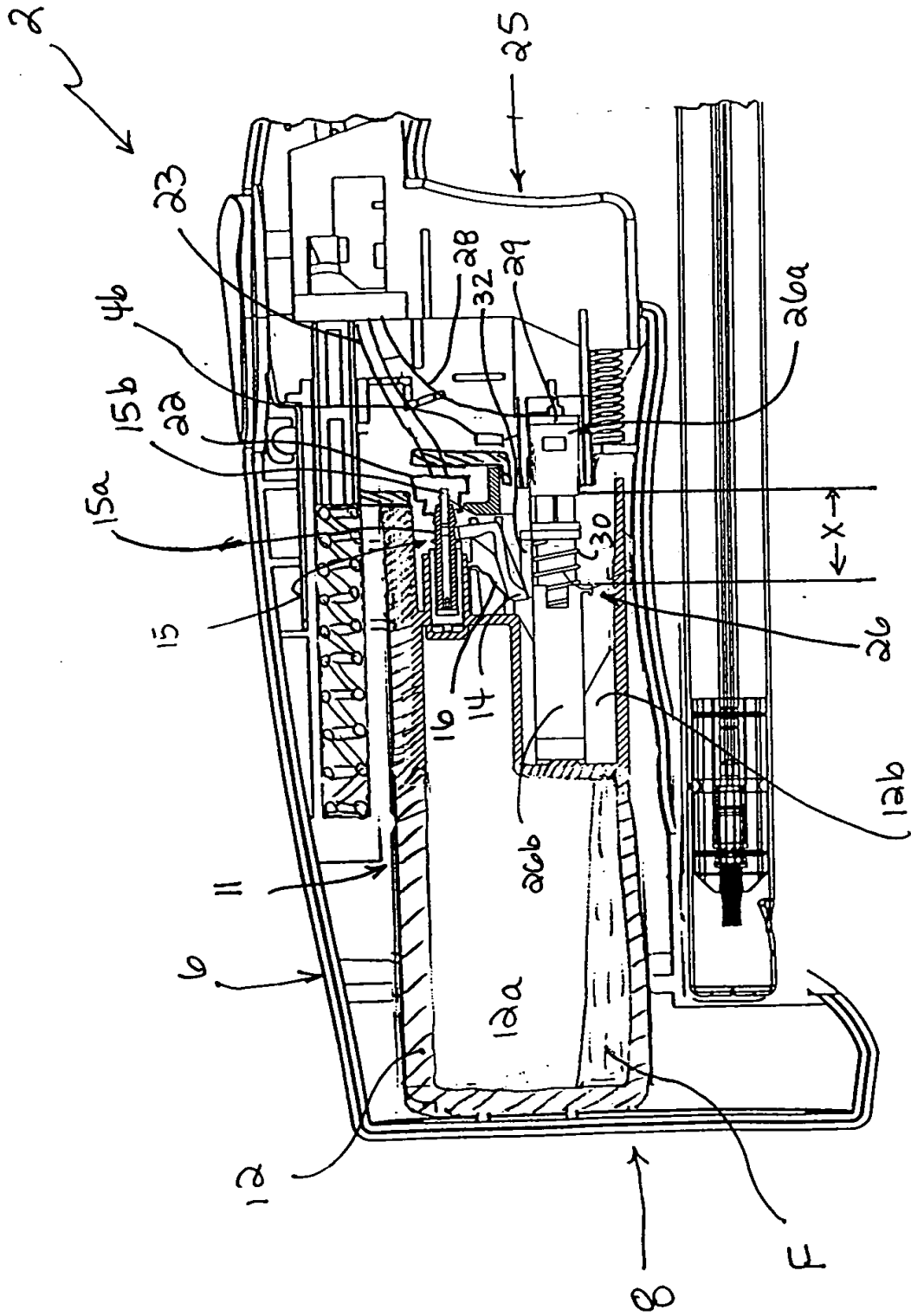


Fig. 1A



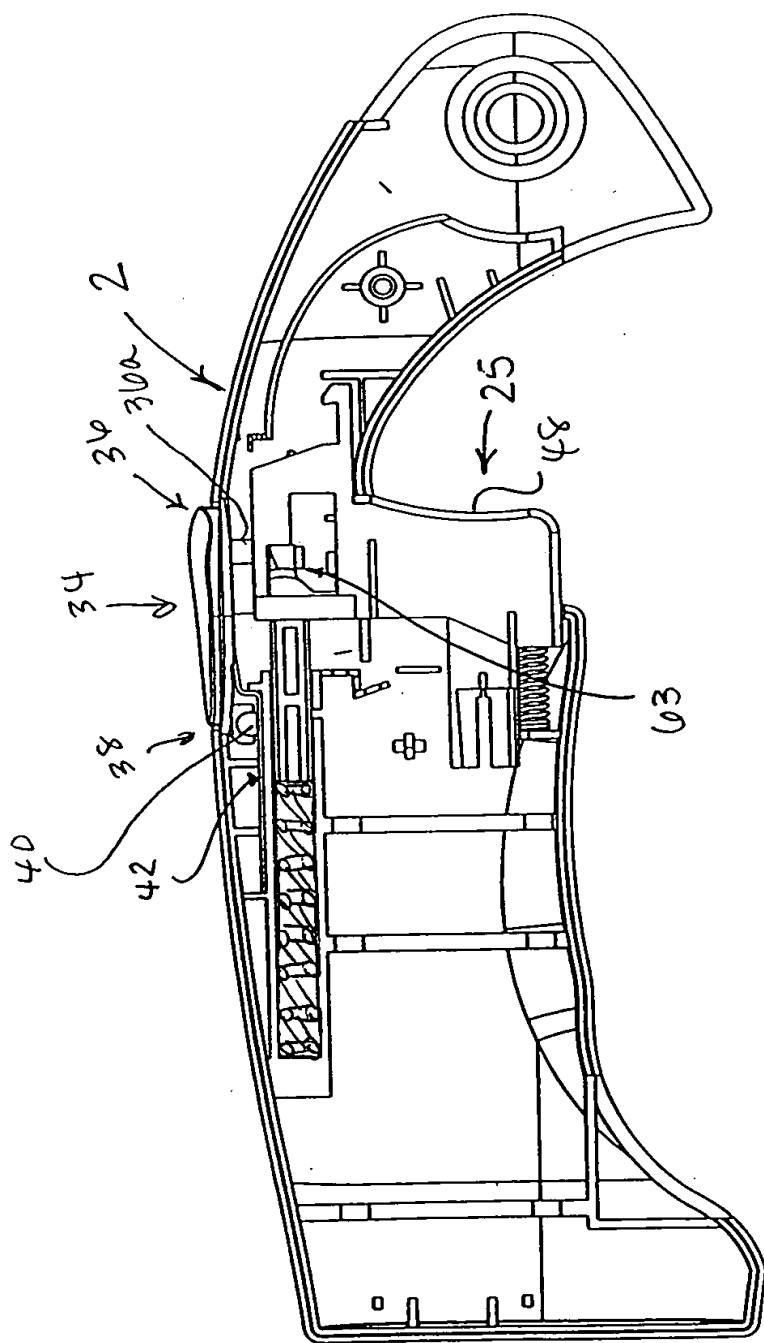


Fig. 2

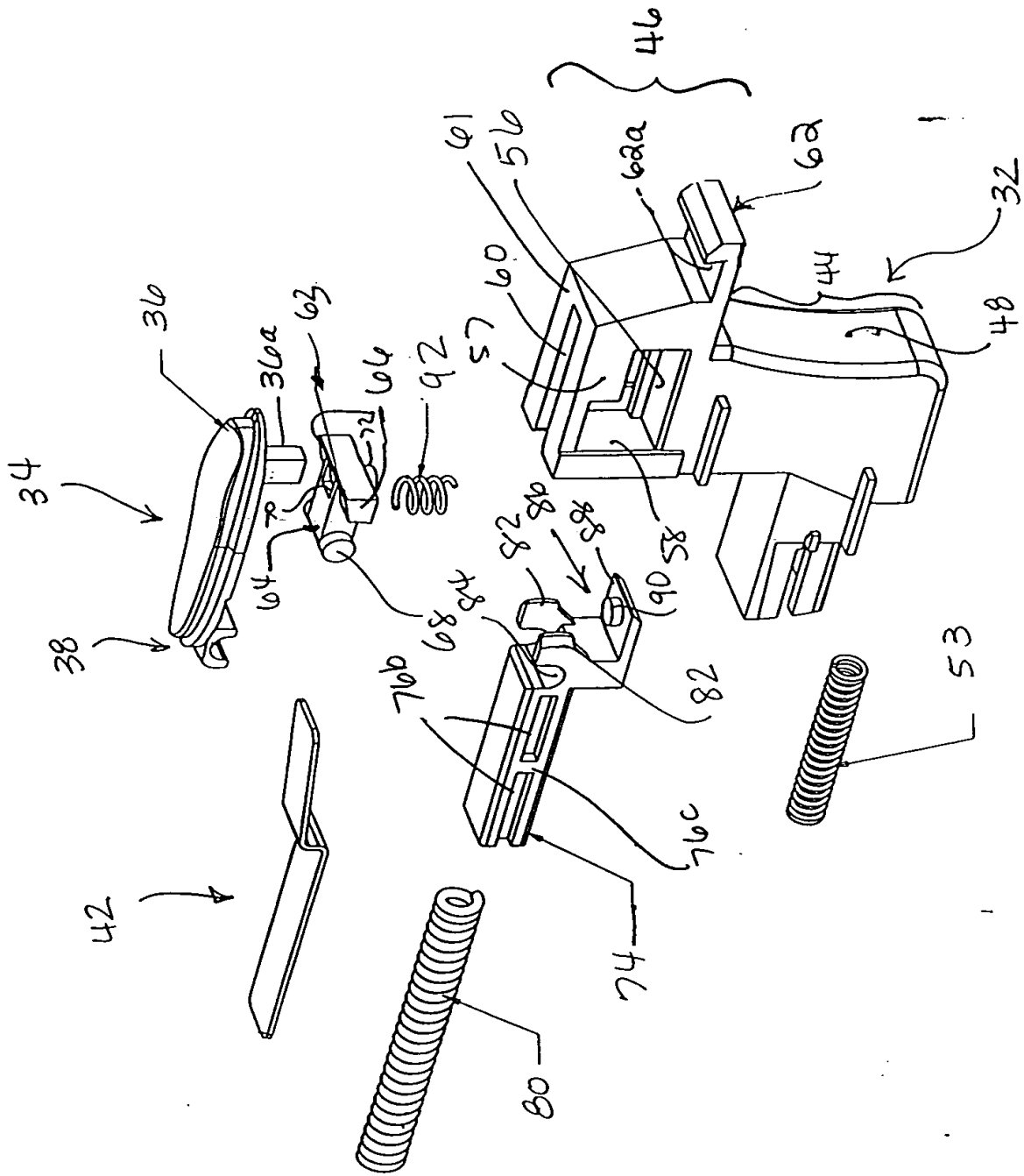
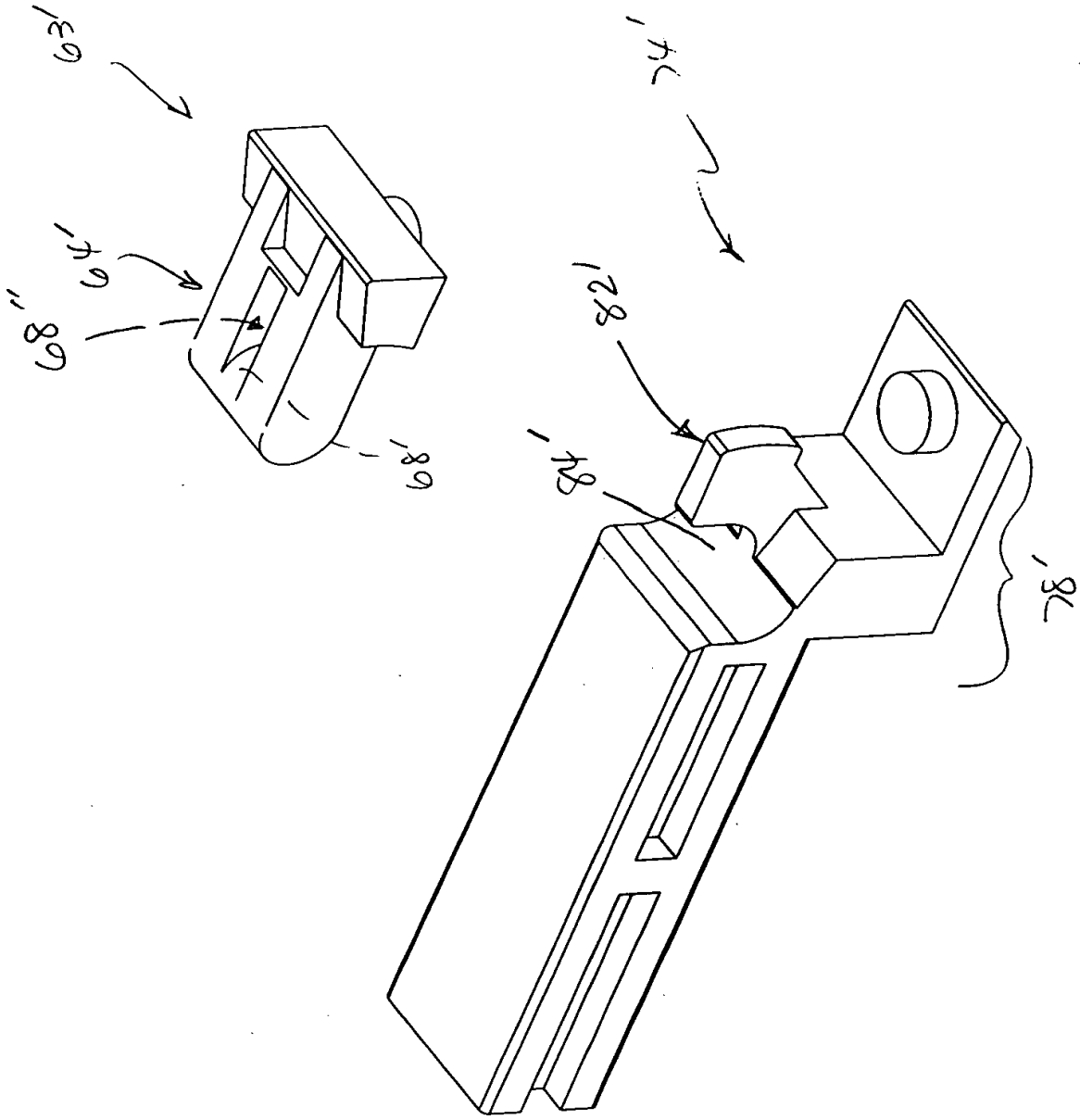


Fig. 3

Fig. 3A



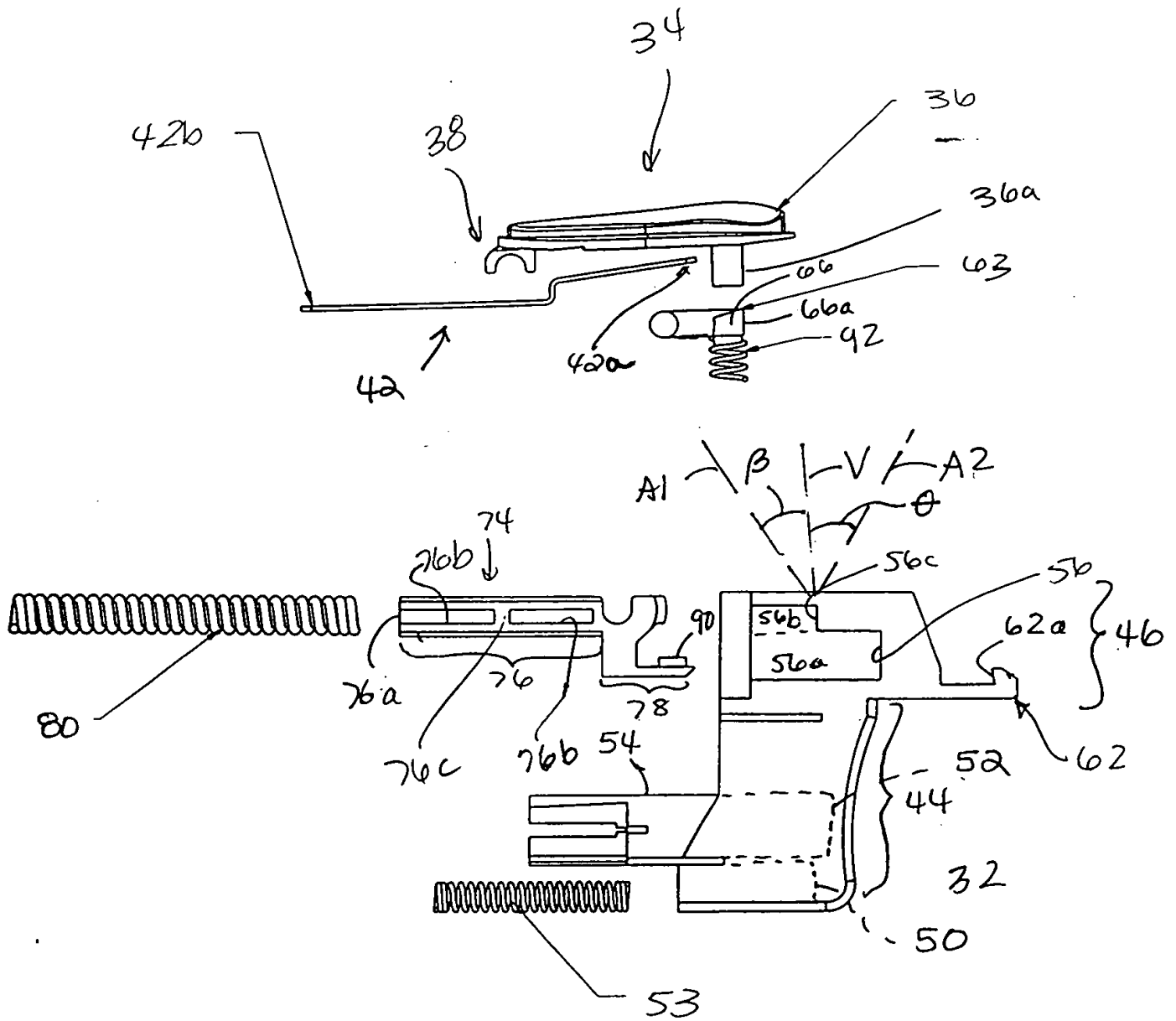
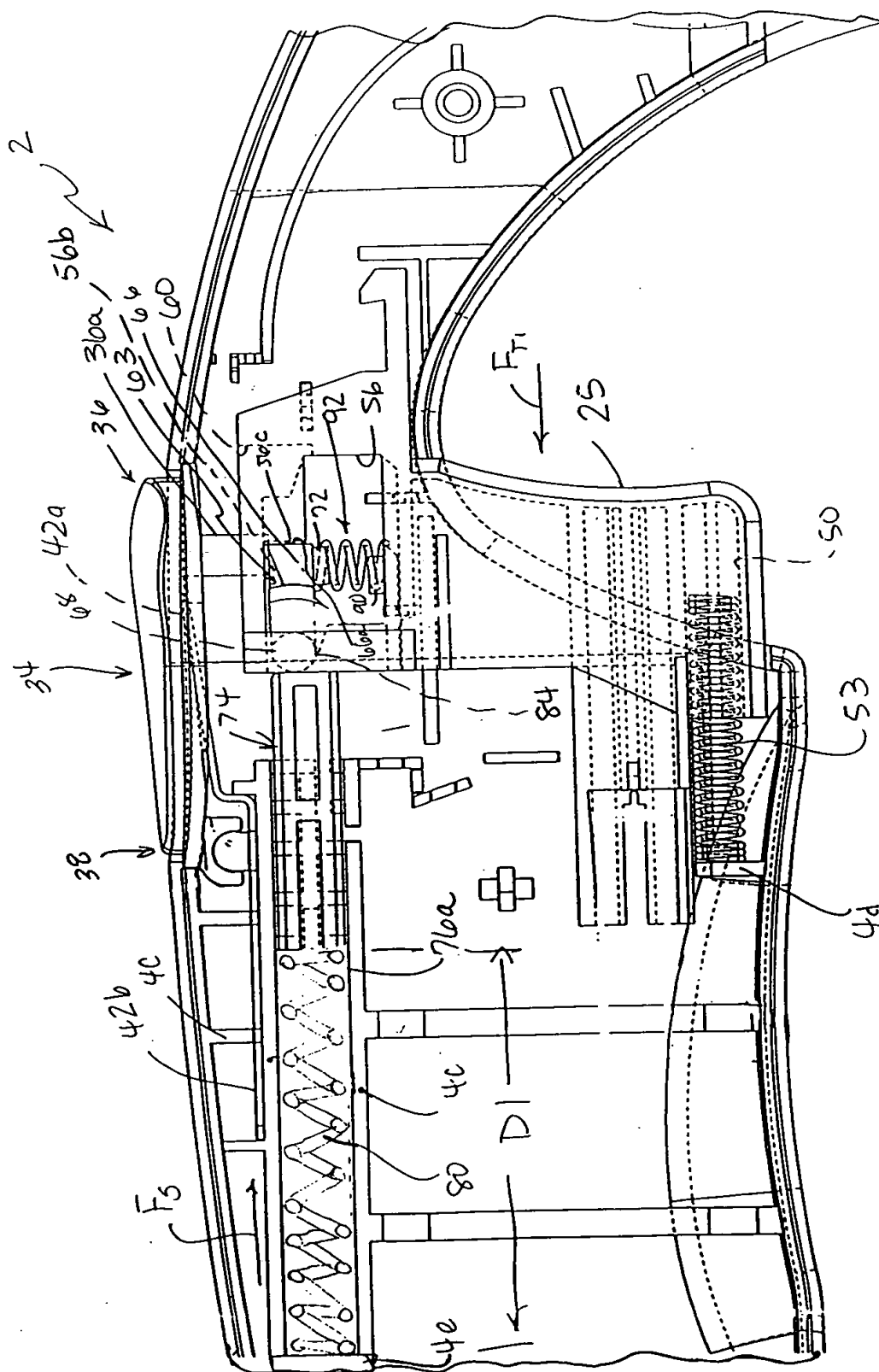


Fig. 4



5.5.7

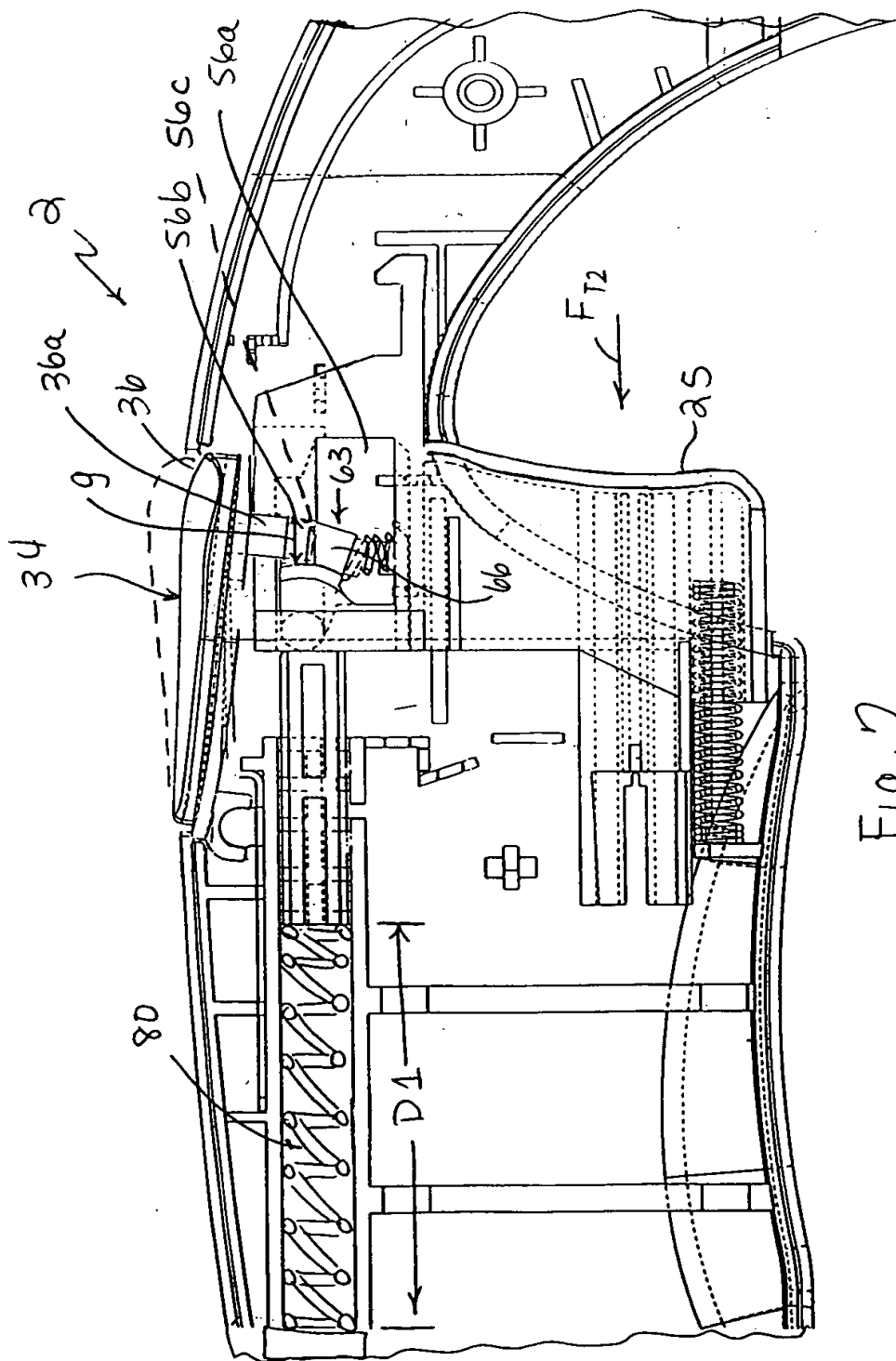


Fig. 7.

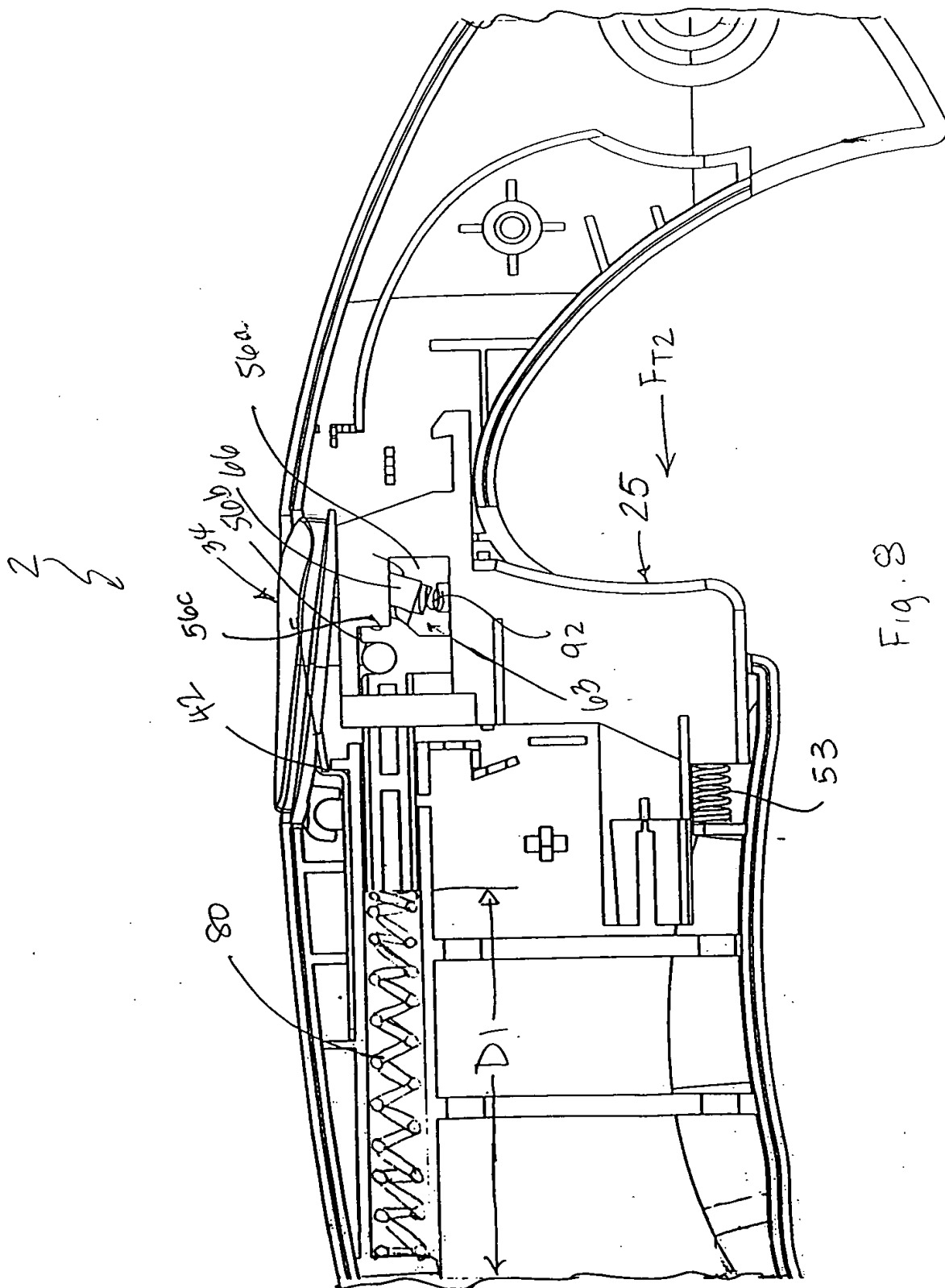


Fig. 8

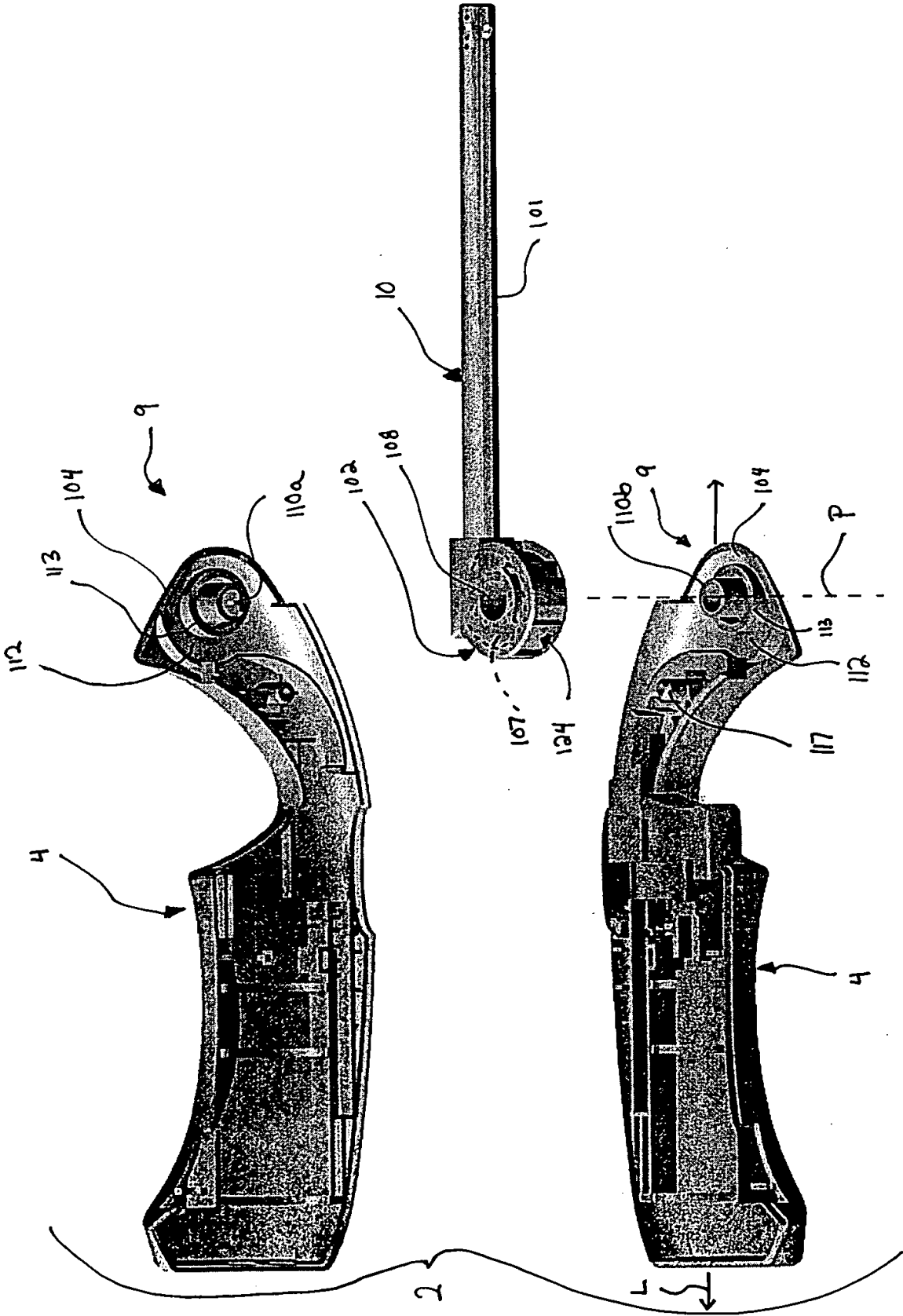
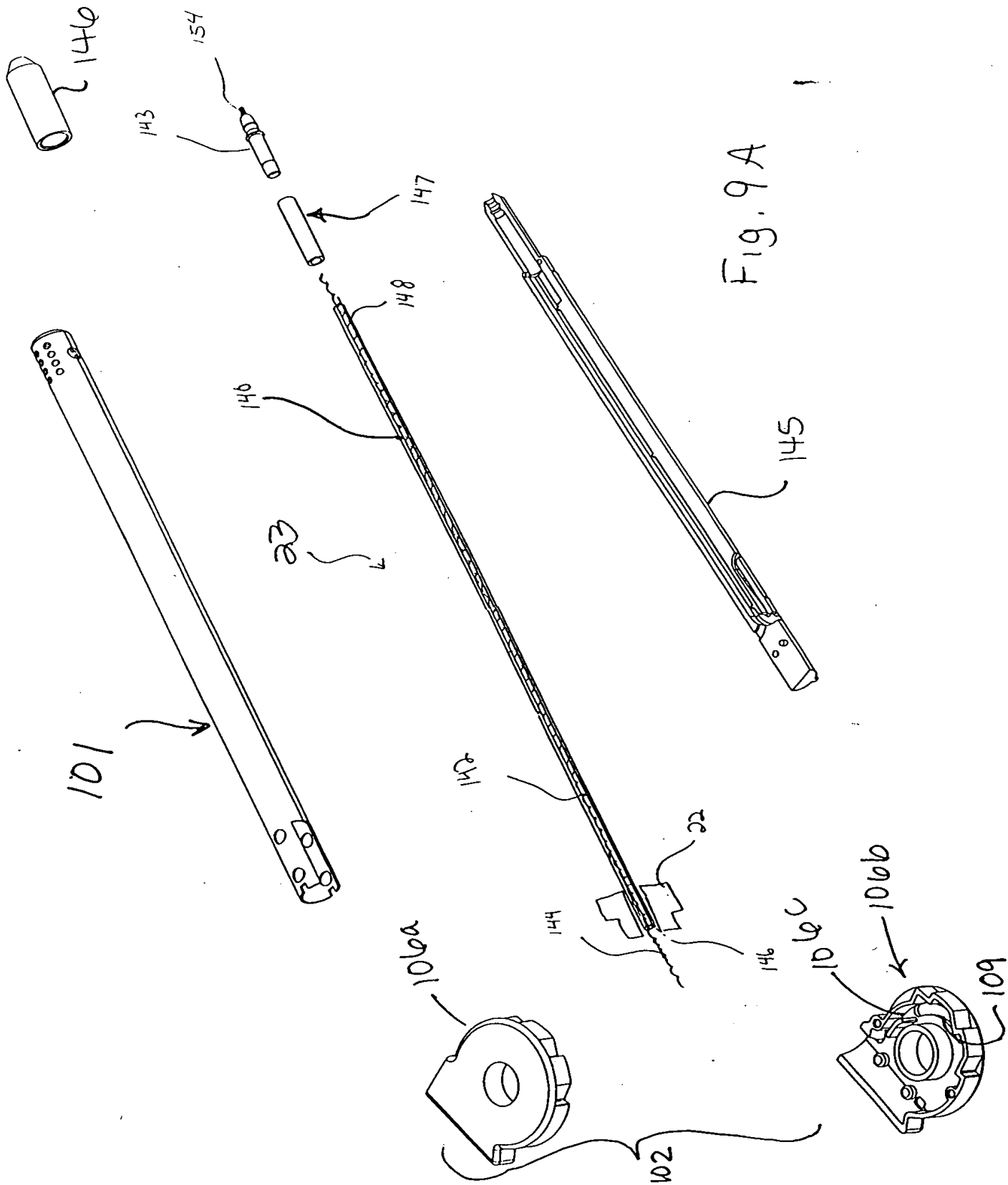


Fig. 9



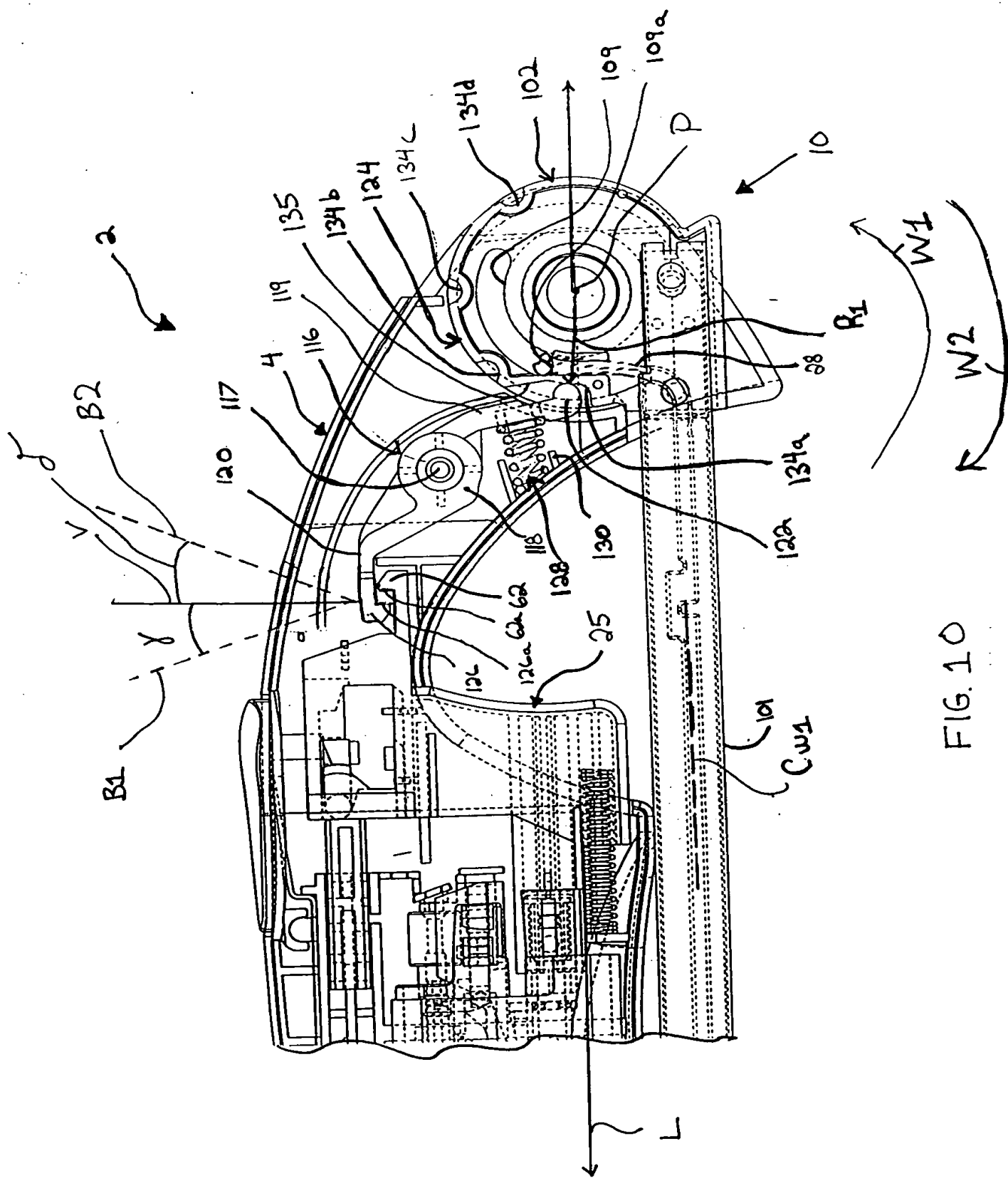


FIG. 10

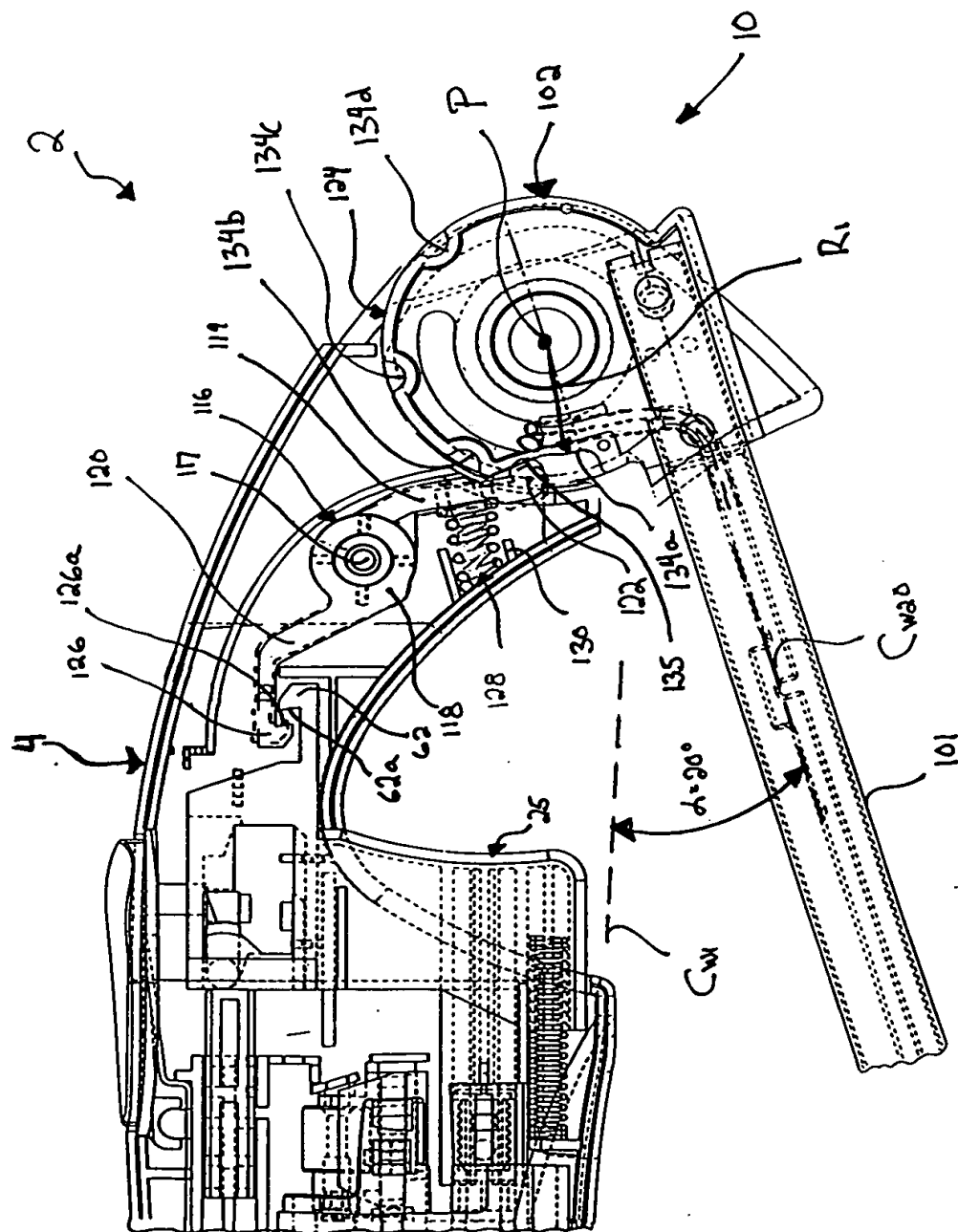
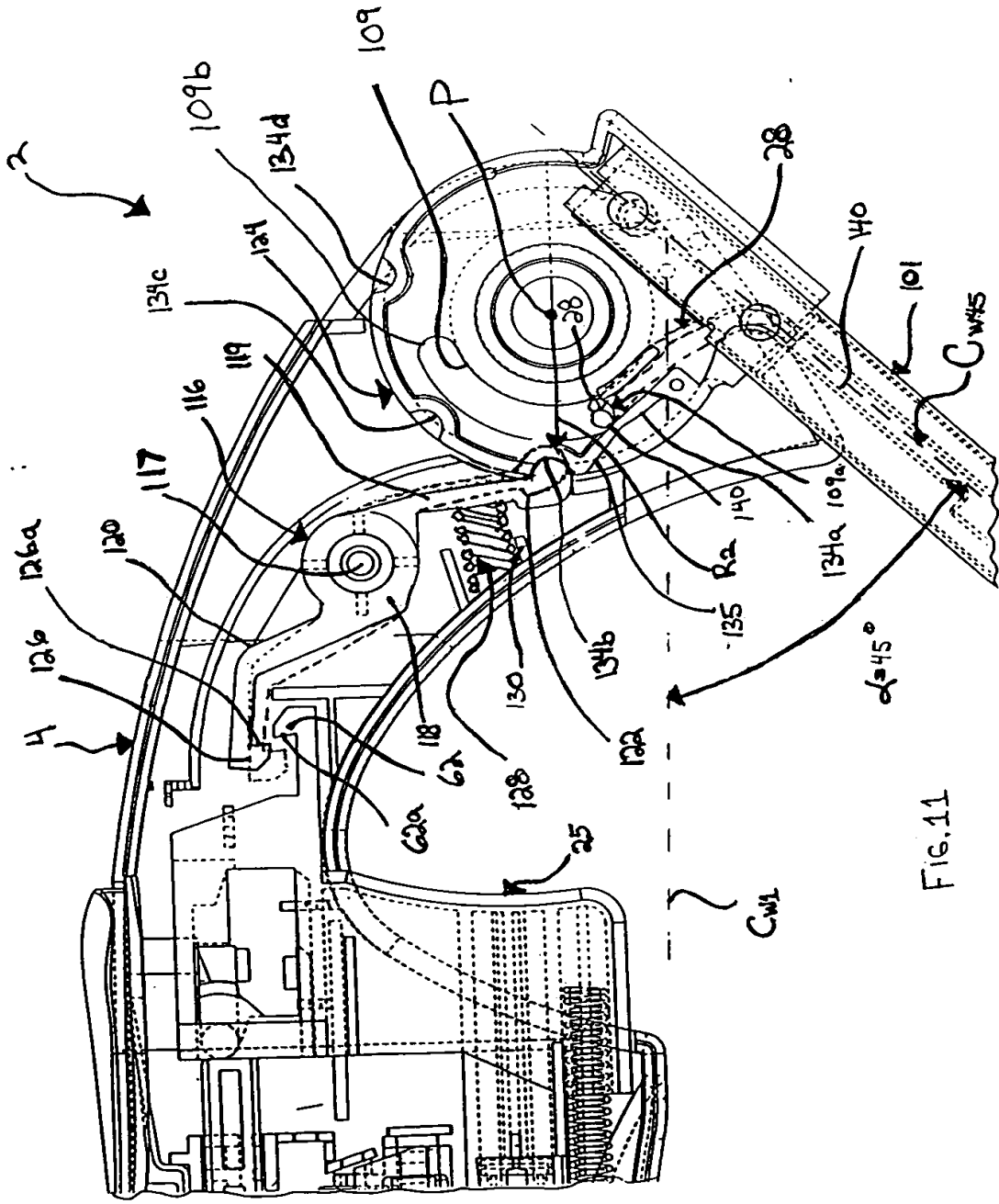


Fig. 10A



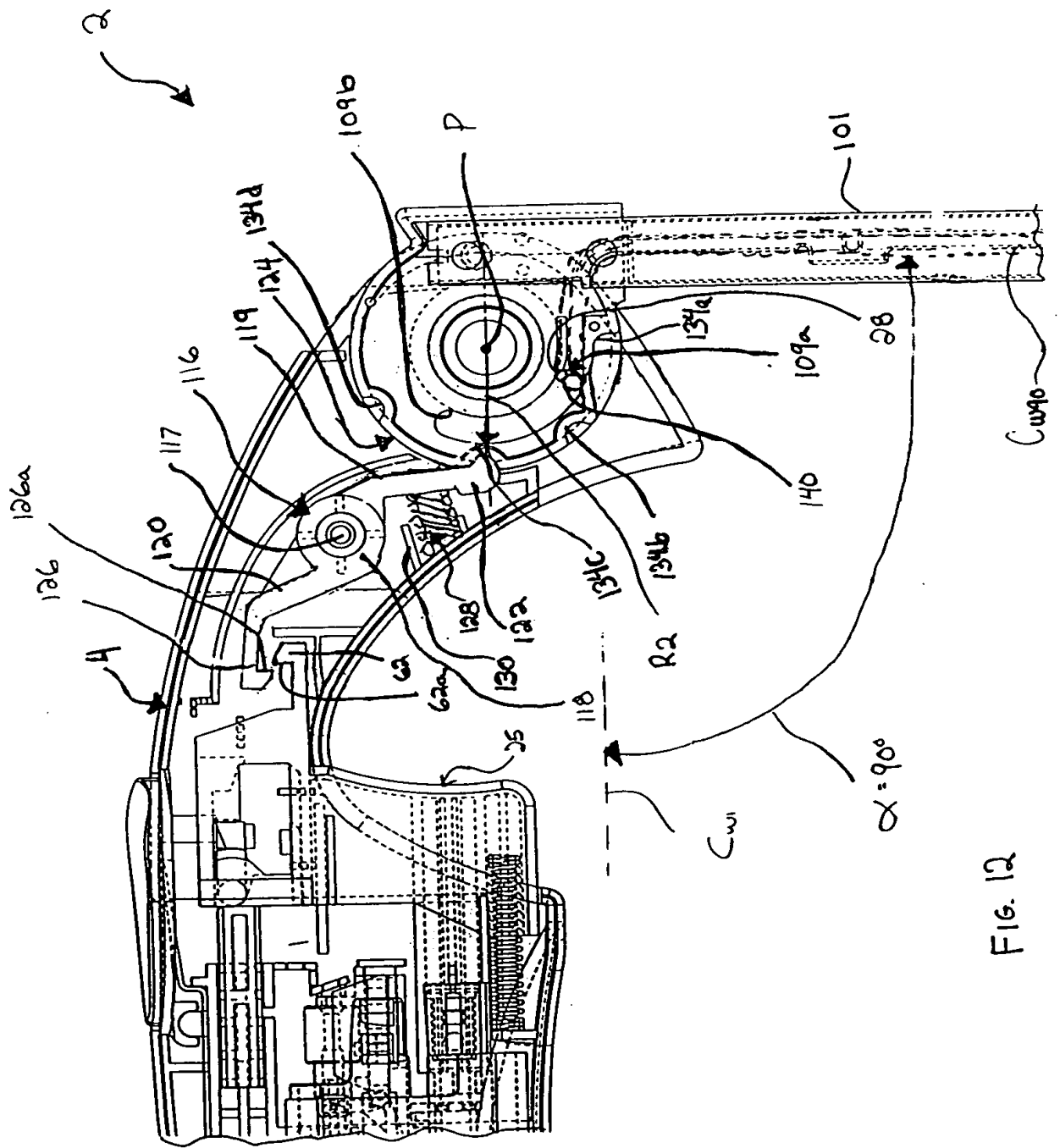
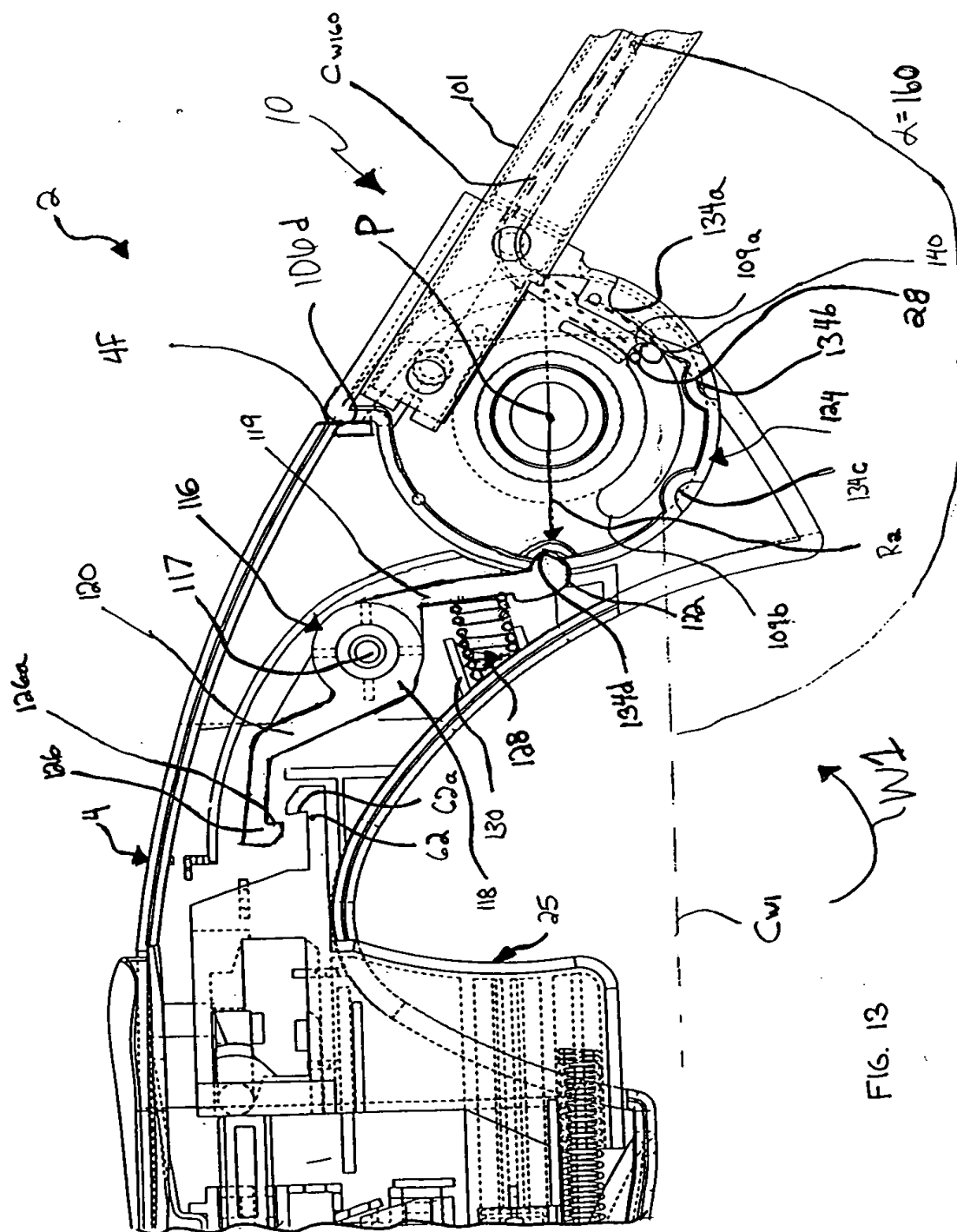
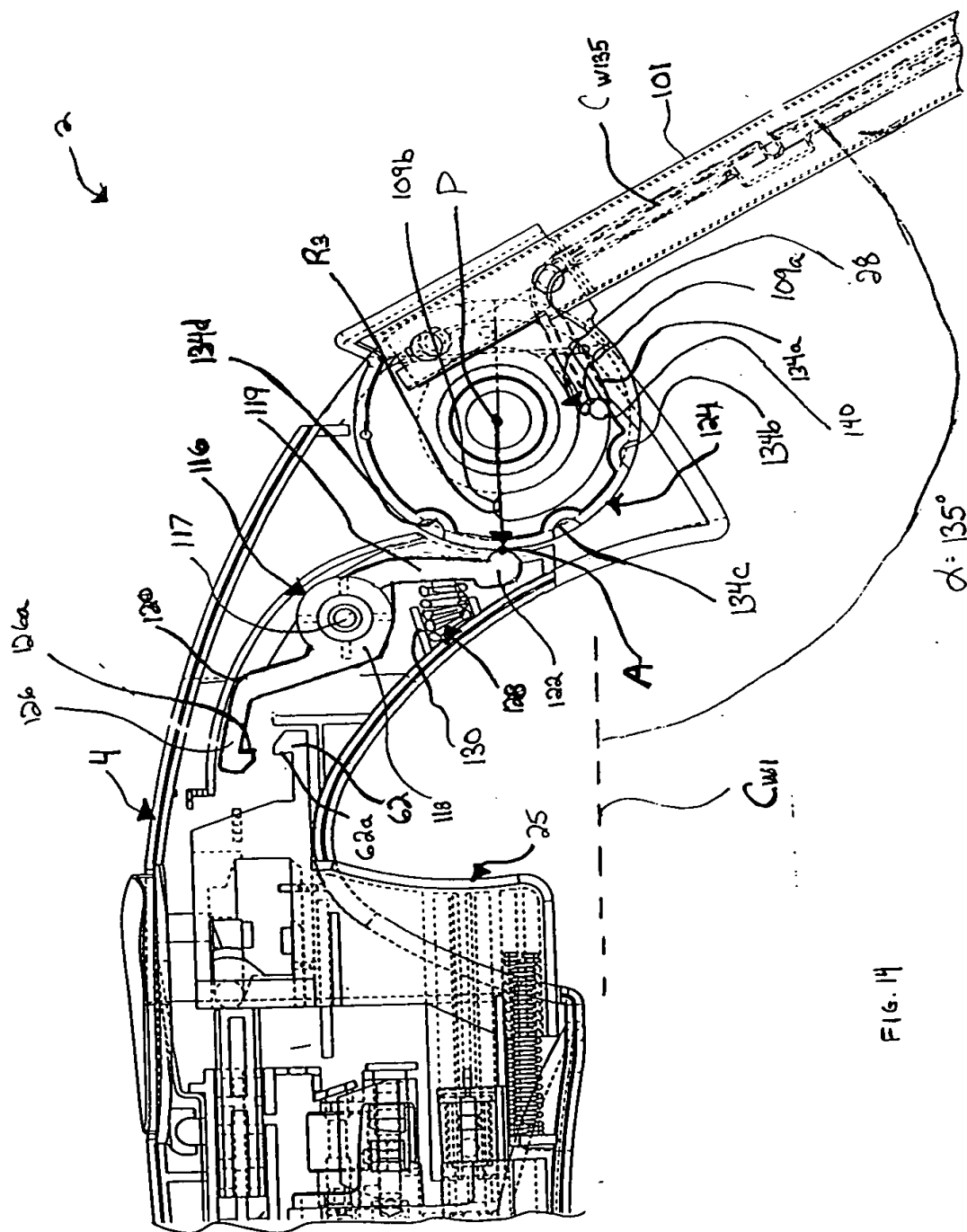


FIG. 12





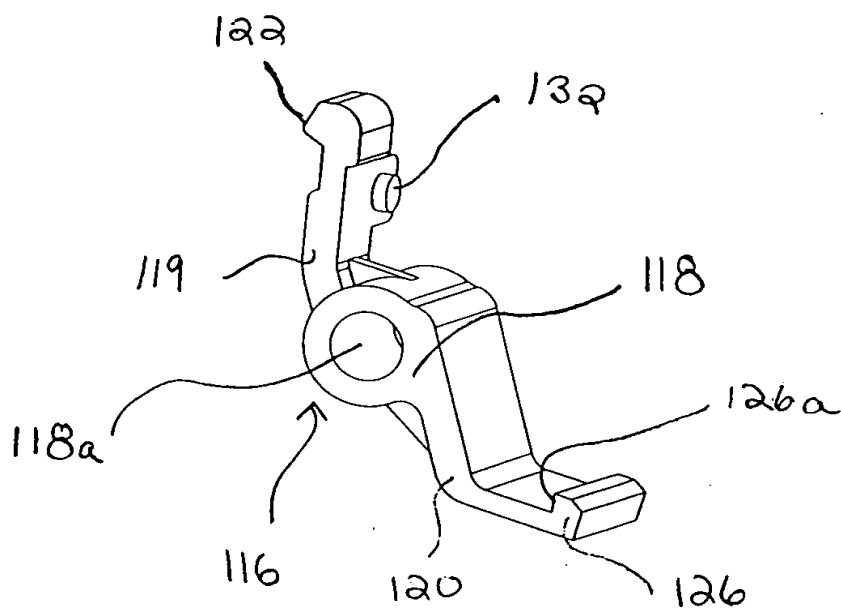


FIG. 15

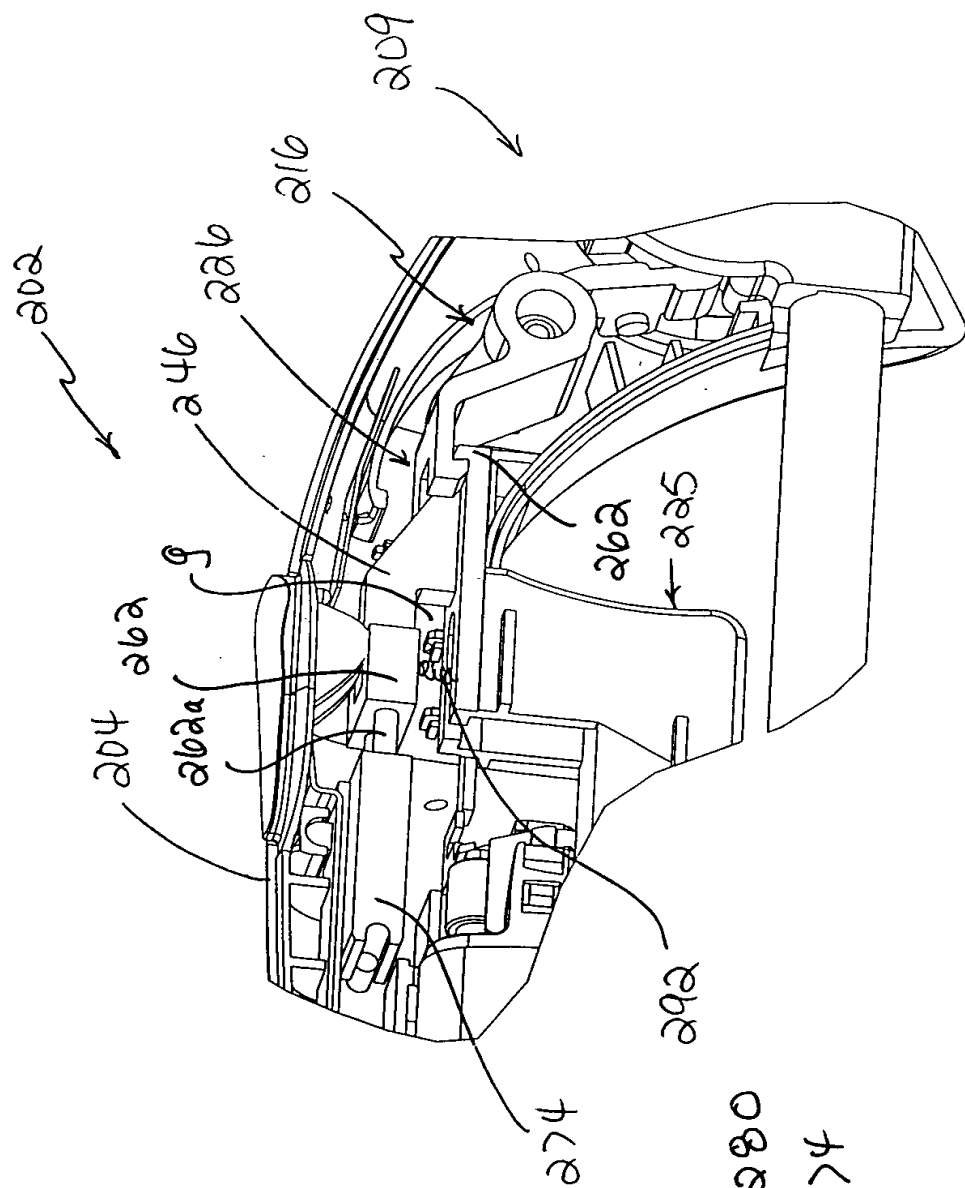


Fig. 16

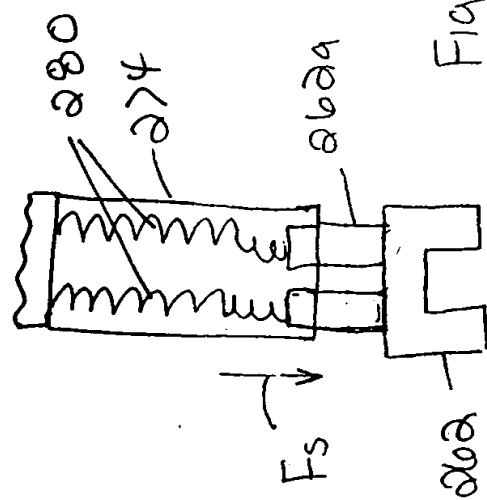


Fig. 16A

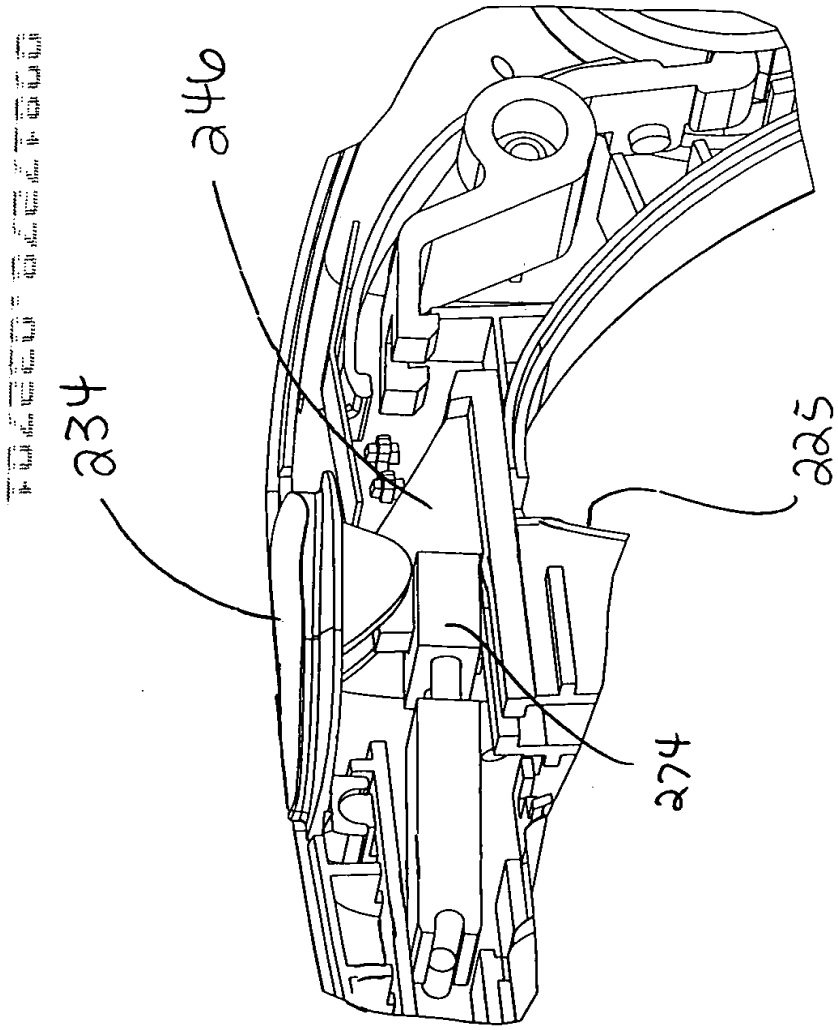


Fig. 17

Fig. 18A

302

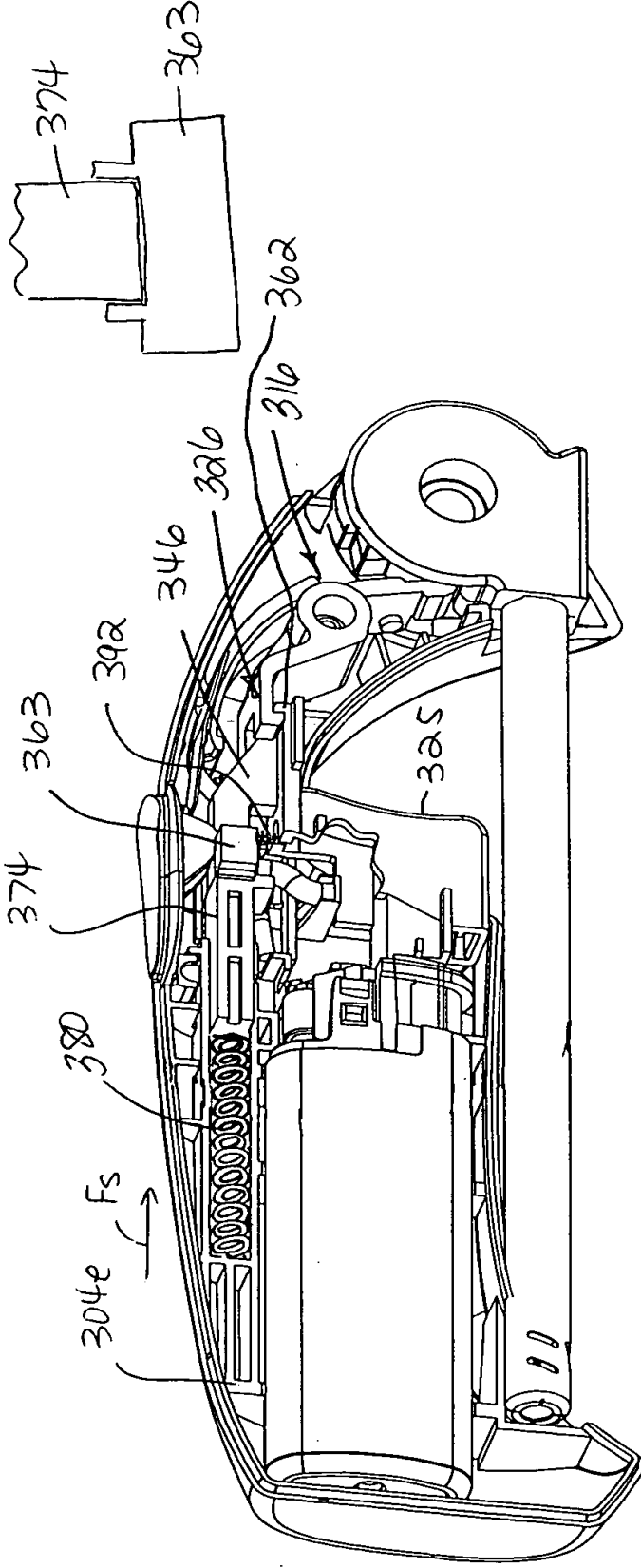


Fig. 18

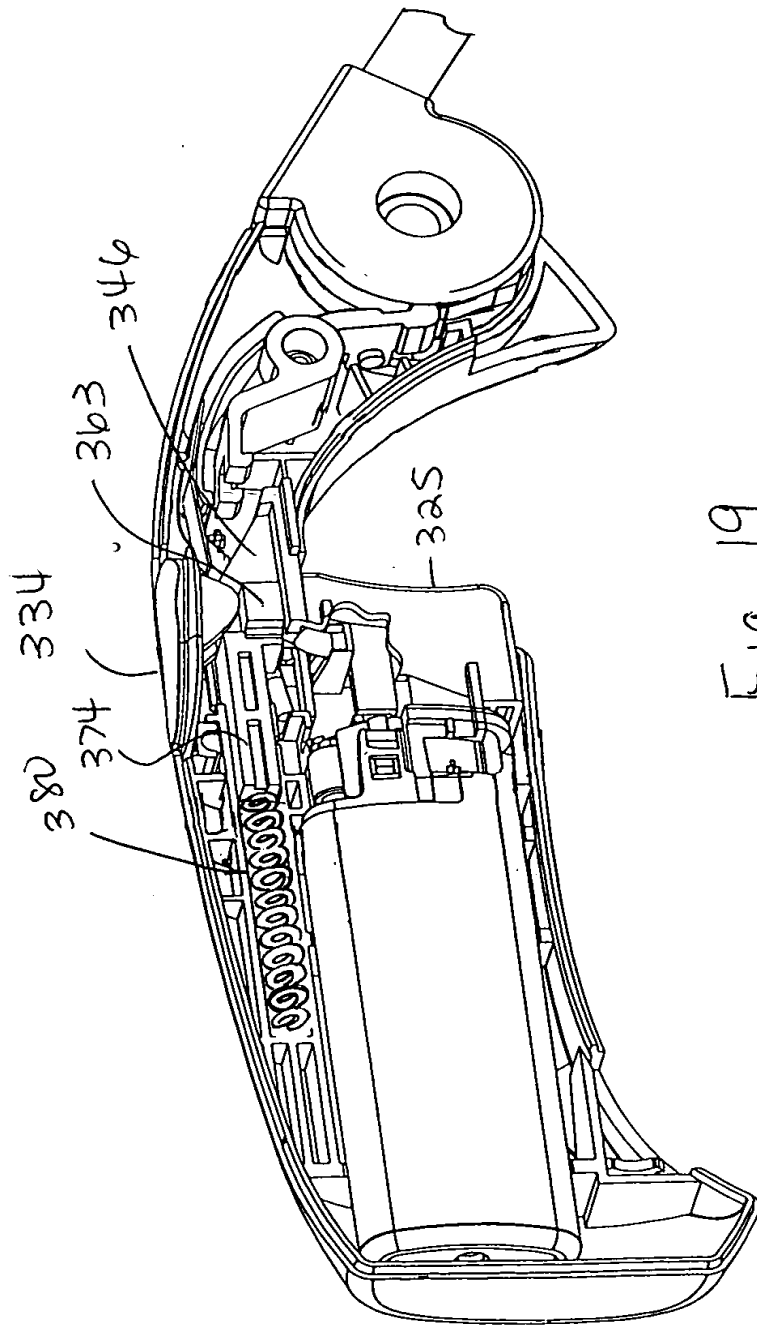


Fig. 19

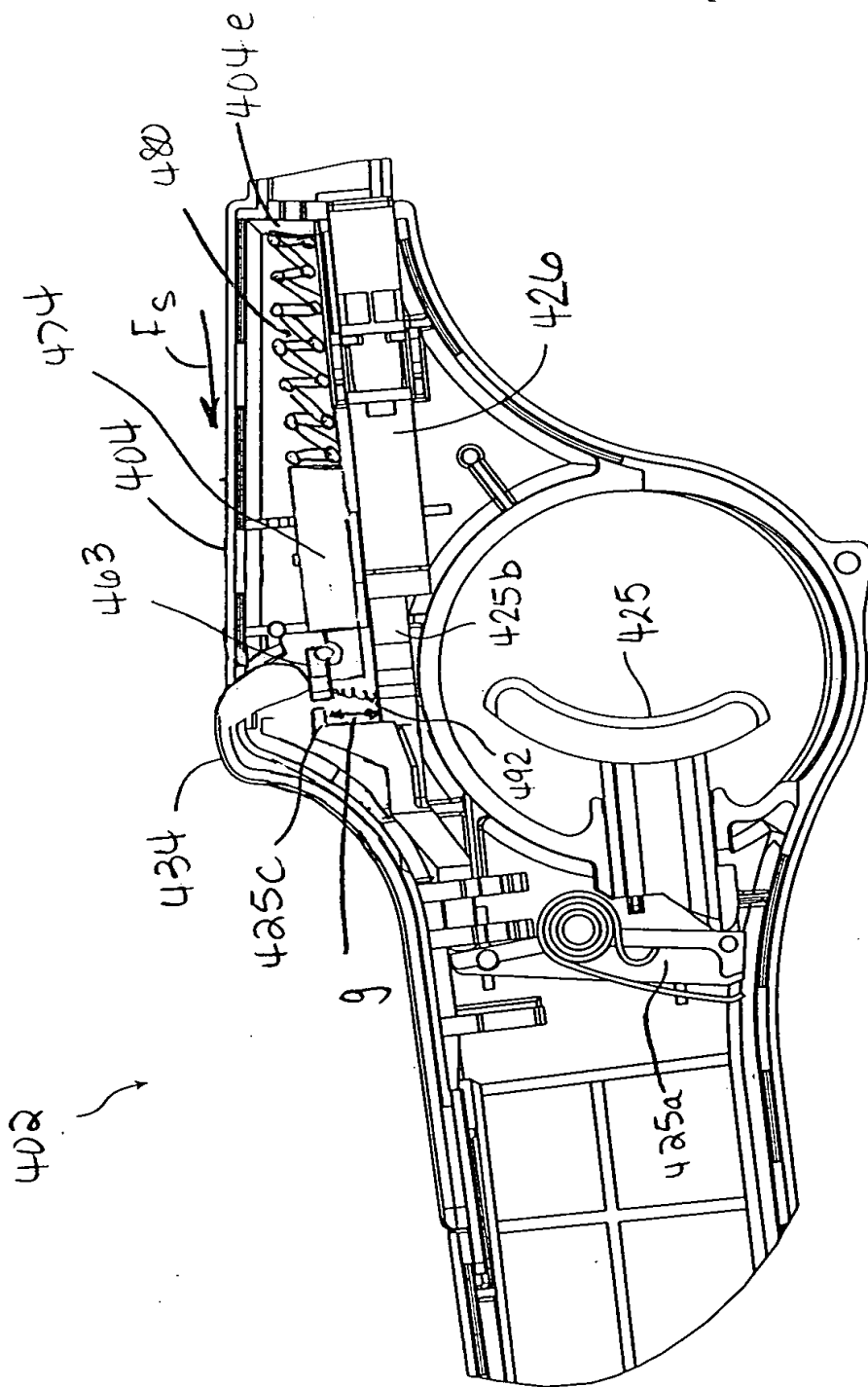


Fig. 20

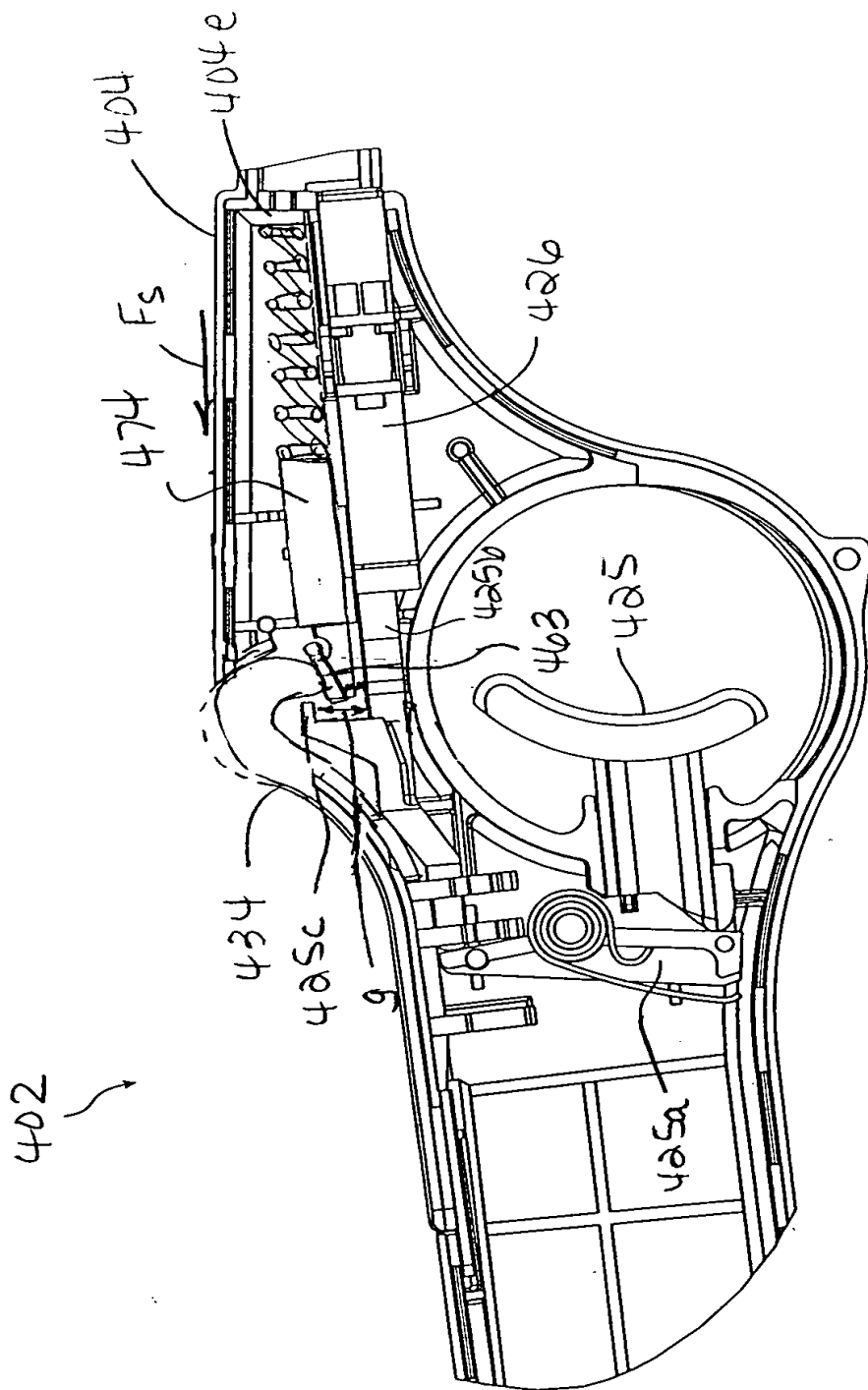


Fig. 21

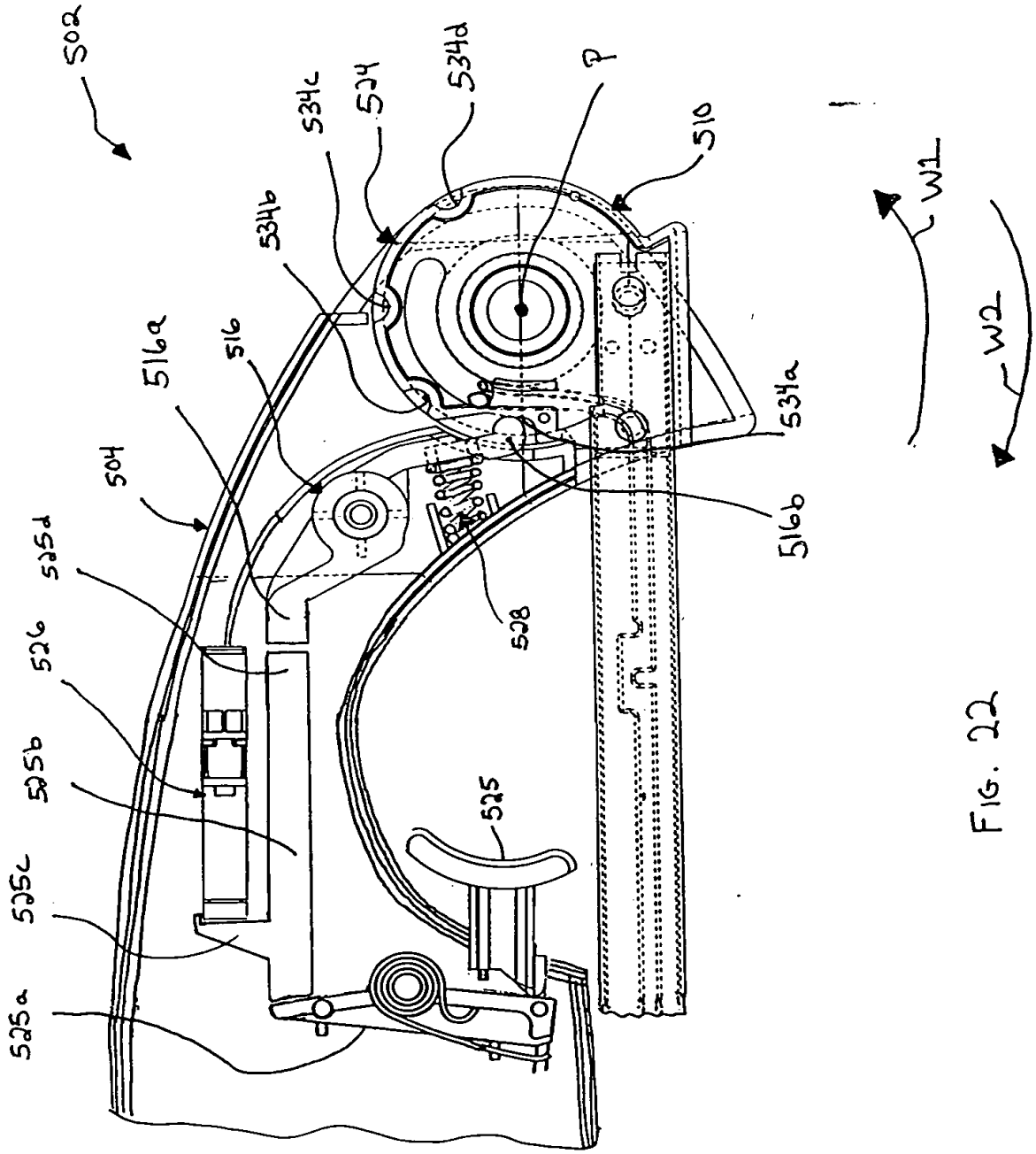


FIG. 22

602
↙

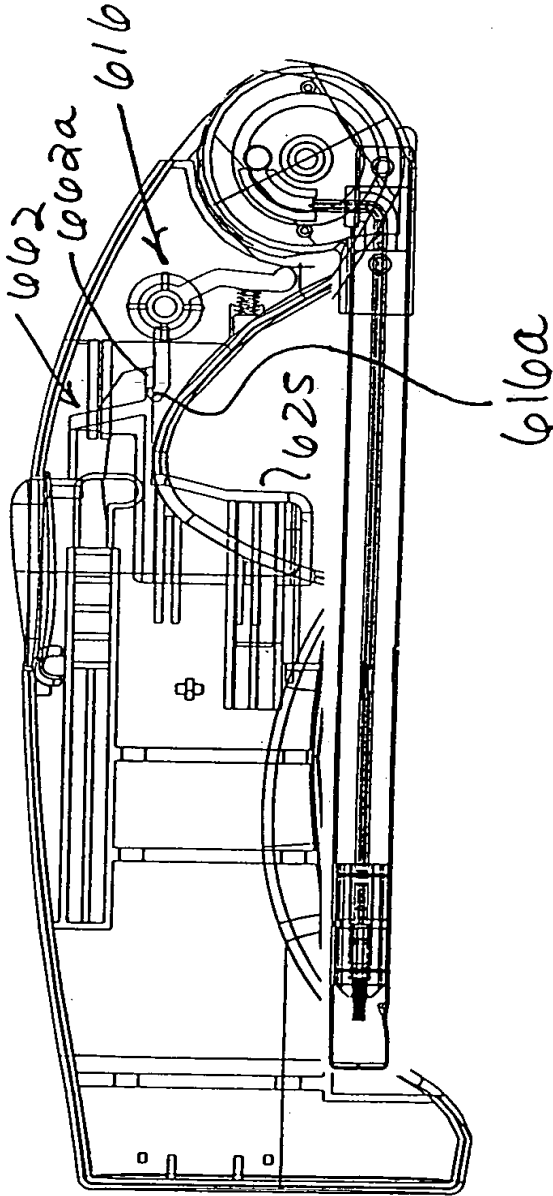


Fig. 23

FIG. 24

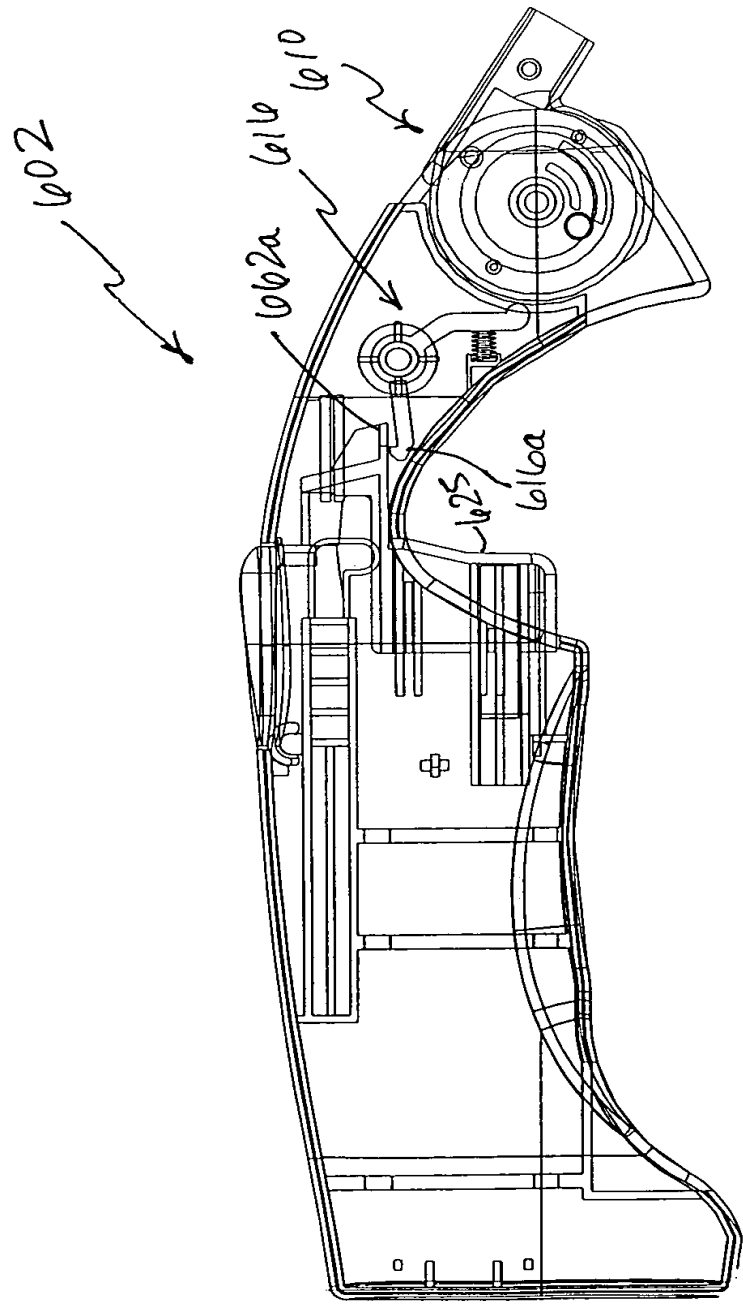


Fig. 24

702

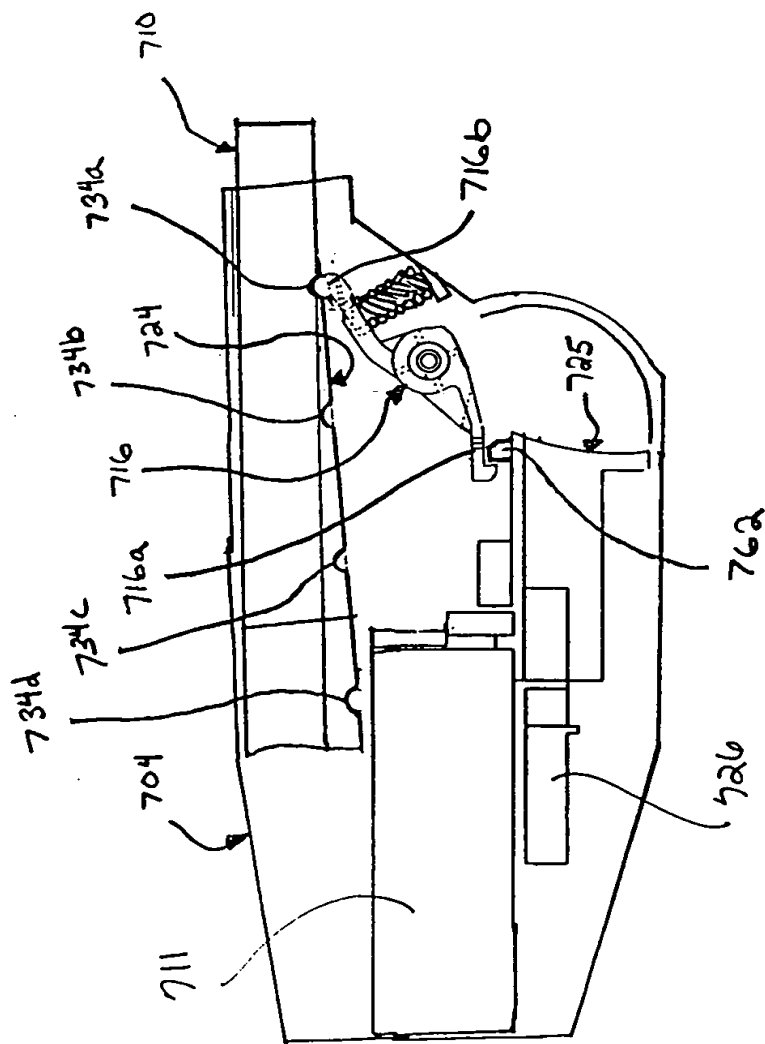


FIG. 25

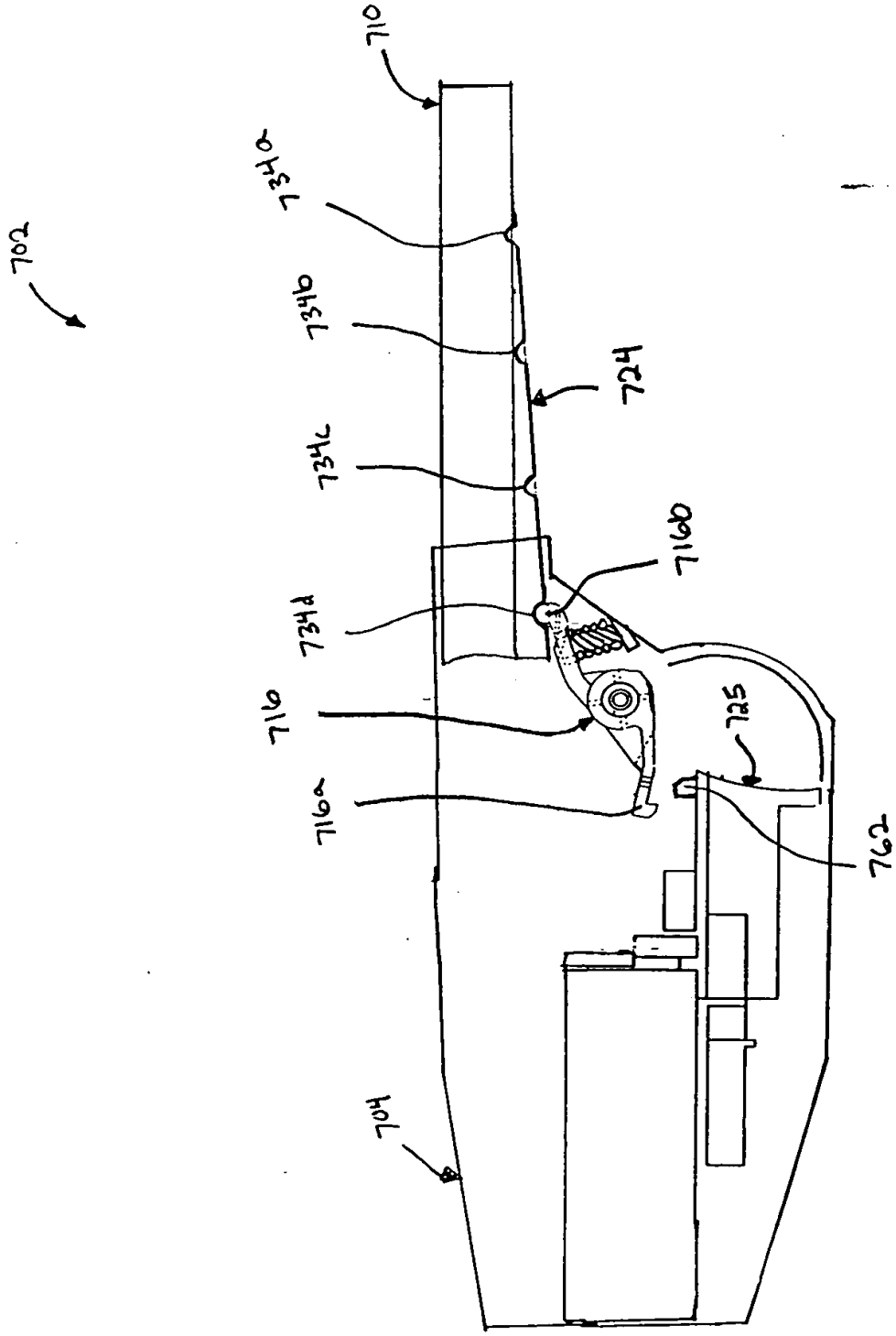


FIG. 26

FIG. 27

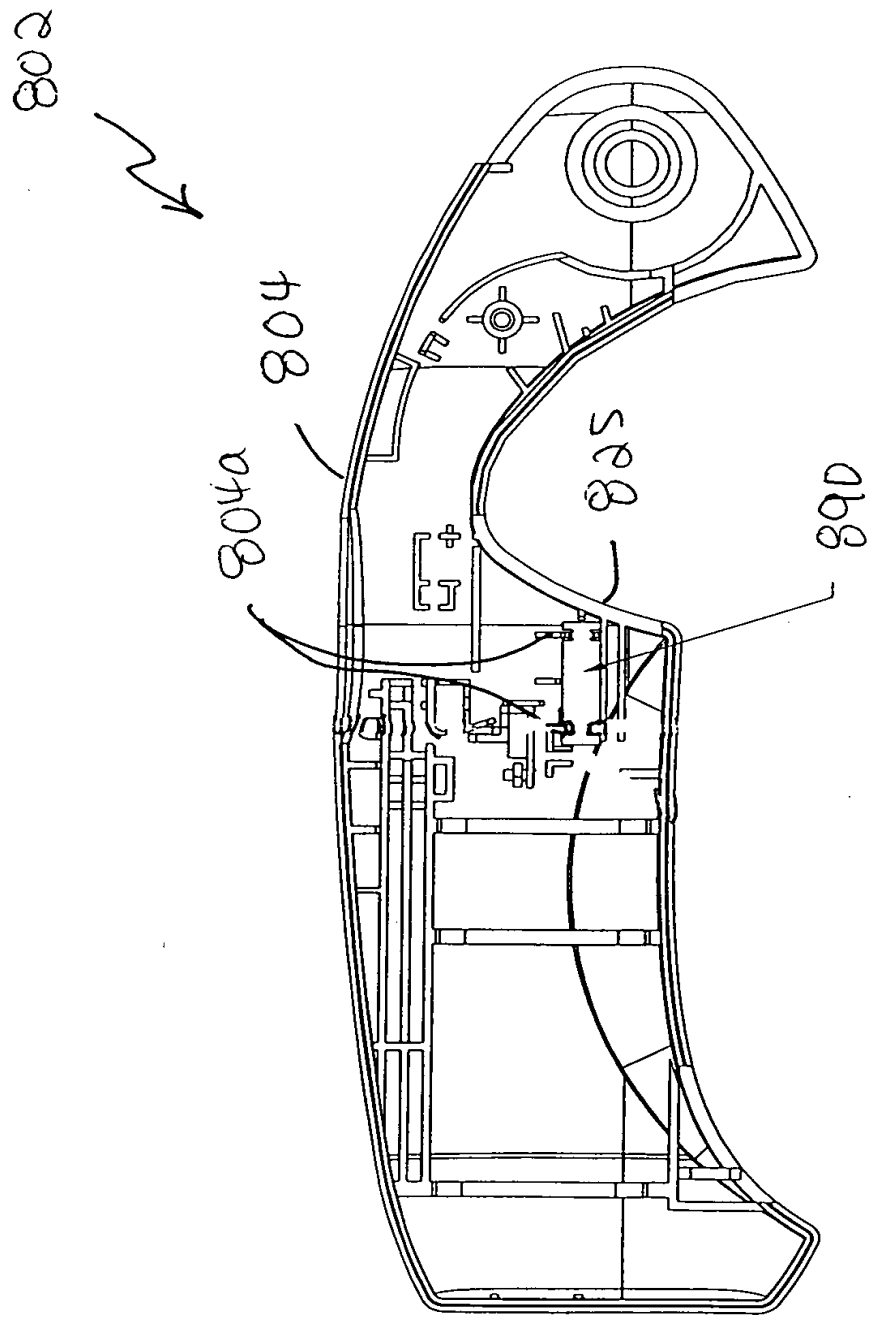


Fig. 27

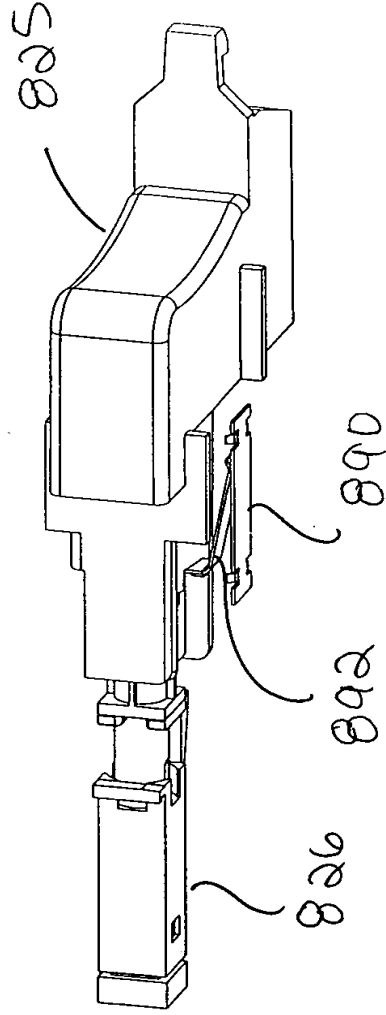


Fig. 28